

# Starkniederschlagshöhen und -spenden gemäß KOSTRA-DWD-2020

## Rasterfeld 120153

(Zeile 120, Spalte 153)

### Regenspende und Bemessungsniederschlagswerte in Abhängigkeit von Wiederkehrzeit T und Dauerstufe D

| Dauerstufe D |     | Wiederkehrzeit T |            |      |            |      |            |       |            |       |            |       |            |       |            |       |            |       |            |
|--------------|-----|------------------|------------|------|------------|------|------------|-------|------------|-------|------------|-------|------------|-------|------------|-------|------------|-------|------------|
|              |     | 1 a              |            | 2 a  |            | 3 a  |            | 5 a   |            | 10 a  |            | 20 a  |            | 30 a  |            | 50 a  |            | 100 a |            |
| min          | Std | mm               | l / (s ha) | mm   | l / (s ha) | mm   | l / (s ha) | mm    | l / (s ha) | mm    | l / (s ha) | mm    | l / (s ha) | mm    | l / (s ha) | mm    | l / (s ha) | mm    | l / (s ha) |
| 5            |     | 6,5              | 216,7      | 8,1  | 270,0      | 9,1  | 303,3      | 10,5  | 350,0      | 12,4  | 413,3      | 14,3  | 476,7      | 15,6  | 520,0      | 17,3  | 576,7      | 19,7  | 656,7      |
| 10           |     | 8,7              | 145,0      | 10,9 | 181,7      | 12,2 | 203,3      | 14,0  | 233,3      | 16,6  | 276,7      | 19,2  | 320,0      | 20,9  | 348,3      | 23,2  | 386,7      | 26,4  | 440,0      |
| 15           |     | 10,1             | 112,2      | 12,6 | 140,0      | 14,2 | 157,8      | 16,2  | 180,0      | 19,2  | 213,3      | 22,3  | 247,8      | 24,3  | 270,0      | 26,9  | 298,9      | 30,6  | 340,0      |
| 20           |     | 11,1             | 92,5       | 13,9 | 115,8      | 15,6 | 130,0      | 17,9  | 149,2      | 21,2  | 176,7      | 24,6  | 205,0      | 26,8  | 223,3      | 29,7  | 247,5      | 33,8  | 281,7      |
| 30           |     | 12,7             | 70,6       | 15,9 | 88,3       | 17,8 | 98,9       | 20,4  | 113,3      | 24,1  | 133,9      | 28,0  | 155,6      | 30,5  | 169,4      | 33,8  | 187,8      | 38,5  | 213,9      |
| 45           |     | 14,4             | 53,3       | 18,0 | 66,7       | 20,2 | 74,8       | 23,1  | 85,6       | 27,4  | 101,5      | 31,7  | 117,4      | 34,6  | 128,1      | 38,3  | 141,9      | 43,6  | 161,5      |
| 60           | 1   | 15,7             | 43,6       | 19,6 | 54,4       | 22,0 | 61,1       | 25,2  | 70,0       | 29,8  | 82,8       | 34,5  | 95,8       | 37,6  | 104,4      | 41,7  | 115,8      | 47,5  | 131,9      |
| 90           | 1,5 | 17,6             | 32,6       | 22,0 | 40,7       | 24,8 | 45,9       | 28,4  | 52,6       | 33,5  | 62,0       | 38,9  | 72,0       | 42,3  | 78,3       | 46,9  | 86,9       | 53,5  | 99,1       |
| 120          | 2   | 19,1             | 26,5       | 23,9 | 33,2       | 26,9 | 37,4       | 30,8  | 42,8       | 36,4  | 50,6       | 42,2  | 58,6       | 46,0  | 63,9       | 50,9  | 70,7       | 58,1  | 80,7       |
| 180          | 3   | 21,4             | 19,8       | 26,8 | 24,8       | 30,1 | 27,9       | 34,5  | 31,9       | 40,8  | 37,8       | 47,3  | 43,8       | 51,5  | 47,7       | 57,1  | 52,9       | 65,1  | 60,3       |
| 240          | 4   | 23,2             | 16,1       | 29,1 | 20,2       | 32,7 | 22,7       | 37,4  | 26,0       | 44,2  | 30,7       | 51,3  | 35,6       | 55,9  | 38,8       | 61,9  | 43,0       | 70,5  | 49,0       |
| 360          | 6   | 26,0             | 12,0       | 32,5 | 15,0       | 36,6 | 16,9       | 41,9  | 19,4       | 49,5  | 22,9       | 57,4  | 26,6       | 62,5  | 28,9       | 69,3  | 32,1       | 78,9  | 36,5       |
| 540          | 9   | 29,1             | 9,0        | 36,4 | 11,2       | 40,9 | 12,6       | 46,8  | 14,4       | 55,4  | 17,1       | 64,2  | 19,8       | 69,9  | 21,6       | 77,5  | 23,9       | 88,3  | 27,3       |
| 720          | 12  | 31,5             | 7,3        | 39,4 | 9,1        | 44,3 | 10,3       | 50,7  | 11,7       | 59,9  | 13,9       | 69,4  | 16,1       | 75,7  | 17,5       | 83,9  | 19,4       | 95,6  | 22,1       |
| 1080         | 18  | 35,2             | 5,4        | 44,0 | 6,8        | 49,5 | 7,6        | 56,6  | 8,7        | 67,0  | 10,3       | 77,6  | 12,0       | 84,6  | 13,1       | 93,7  | 14,5       | 106,8 | 16,5       |
| 1440         | 24  | 38,1             | 4,4        | 47,6 | 5,5        | 53,5 | 6,2        | 61,3  | 7,1        | 72,5  | 8,4        | 84,0  | 9,7        | 91,6  | 10,6       | 101,4 | 11,7       | 115,6 | 13,4       |
| 2880         | 48  | 46,1             | 2,7        | 57,6 | 3,3        | 64,7 | 3,7        | 74,1  | 4,3        | 87,6  | 5,1        | 101,6 | 5,9        | 110,7 | 6,4        | 122,7 | 7,1        | 139,8 | 8,1        |
| 4320         | 72  | 51,5             | 2,0        | 64,3 | 2,5        | 72,3 | 2,8        | 82,8  | 3,2        | 97,9  | 3,8        | 113,5 | 4,4        | 123,7 | 4,8        | 137,0 | 5,3        | 156,2 | 6,0        |
| 5760         | 96  | 55,7             | 1,6        | 69,6 | 2,0        | 78,2 | 2,3        | 89,6  | 2,6        | 105,9 | 3,1        | 122,8 | 3,6        | 133,8 | 3,9        | 148,3 | 4,3        | 169,0 | 4,9        |
| 7200         | 120 | 59,2             | 1,4        | 74,0 | 1,7        | 83,2 | 1,9        | 95,2  | 2,2        | 112,6 | 2,6        | 130,5 | 3,0        | 142,2 | 3,3        | 157,6 | 3,6        | 179,6 | 4,2        |
| 8640         | 144 | 62,2             | 1,2        | 77,8 | 1,5        | 87,4 | 1,7        | 100,1 | 1,9        | 118,4 | 2,3        | 137,2 | 2,6        | 149,5 | 2,9        | 165,7 | 3,2        | 188,8 | 3,6        |
| 10080        | 168 | 64,9             | 1,1        | 81,1 | 1,3        | 91,2 | 1,5        | 104,4 | 1,7        | 123,4 | 2,0        | 143,1 | 2,4        | 155,9 | 2,6        | 172,8 | 2,9        | 196,9 | 3,3        |

# Starkniederschlagshöhen und -spenden gemäß KOSTRA-DWD-2020

## Rasterfeld 120153

(Zeile 120, Spalte 153)

### Örtliche Unsicherheiten in Abhängigkeit von Wiederkehrzeit T und Dauerstufe D

| Dauerstufe D |     | Wiederkehrzeit T |     |     |     |      |      |      |      |       |
|--------------|-----|------------------|-----|-----|-----|------|------|------|------|-------|
|              |     | 1 a              | 2 a | 3 a | 5 a | 10 a | 20 a | 30 a | 50 a | 100 a |
| min          | Std | ± %              | ± % | ± % | ± % | ± %  | ± %  | ± %  | ± %  | ± %   |
| 5            |     | 11               | 12  | 13  | 13  | 14   | 15   | 15   | 16   | 16    |
| 10           |     | 14               | 16  | 17  | 18  | 19   | 20   | 20   | 21   | 21    |
| 15           |     | 16               | 18  | 19  | 20  | 21   | 22   | 23   | 23   | 24    |
| 20           |     | 17               | 19  | 20  | 21  | 23   | 23   | 24   | 24   | 25    |
| 30           |     | 18               | 20  | 21  | 22  | 24   | 25   | 25   | 25   | 26    |
| 45           |     | 18               | 21  | 22  | 23  | 24   | 25   | 25   | 26   | 26    |
| 60           | 1   | 18               | 20  | 21  | 23  | 24   | 25   | 25   | 26   | 26    |
| 90           | 1,5 | 18               | 20  | 21  | 22  | 23   | 24   | 25   | 25   | 26    |
| 120          | 2   | 17               | 19  | 20  | 21  | 23   | 23   | 24   | 24   | 25    |
| 180          | 3   | 16               | 18  | 19  | 20  | 21   | 22   | 23   | 23   | 24    |
| 240          | 4   | 15               | 17  | 18  | 19  | 21   | 22   | 22   | 22   | 23    |
| 360          | 6   | 14               | 16  | 17  | 18  | 19   | 20   | 21   | 21   | 22    |
| 540          | 9   | 13               | 15  | 16  | 17  | 18   | 19   | 19   | 20   | 21    |
| 720          | 12  | 13               | 15  | 15  | 16  | 17   | 18   | 19   | 19   | 20    |
| 1080         | 18  | 12               | 14  | 15  | 15  | 16   | 17   | 18   | 18   | 19    |
| 1440         | 24  | 12               | 13  | 14  | 15  | 16   | 17   | 17   | 17   | 18    |
| 2880         | 48  | 12               | 13  | 14  | 14  | 15   | 15   | 16   | 16   | 17    |
| 4320         | 72  | 13               | 13  | 14  | 14  | 15   | 15   | 15   | 16   | 16    |
| 5760         | 96  | 14               | 14  | 14  | 14  | 15   | 15   | 15   | 16   | 16    |
| 7200         | 120 | 15               | 15  | 15  | 15  | 15   | 15   | 16   | 16   | 16    |
| 8640         | 144 | 15               | 15  | 15  | 15  | 15   | 16   | 16   | 16   | 16    |
| 10080        | 168 | 16               | 16  | 15  | 15  | 16   | 16   | 16   | 16   | 16    |

### Parameter für abweichende T und D

#### Lokationsparameter $\xi$ (Xi)

16,00779339

#### Skalenparameter $\alpha$ (Alpha)

5,57263263

#### Formparameter $\kappa$ (Kappa)

-0,1

#### 1. Koutsoyiannis-Parameter $\theta$ (Theta)

0,02980108

#### 2. Koutsoyiannis-Parameter $\eta$ (Eta)

0,72672765

Parameter für dauerstufenübergreifende Extremwertschätzung nach KOUTSOYIANNIS et al. 1998.

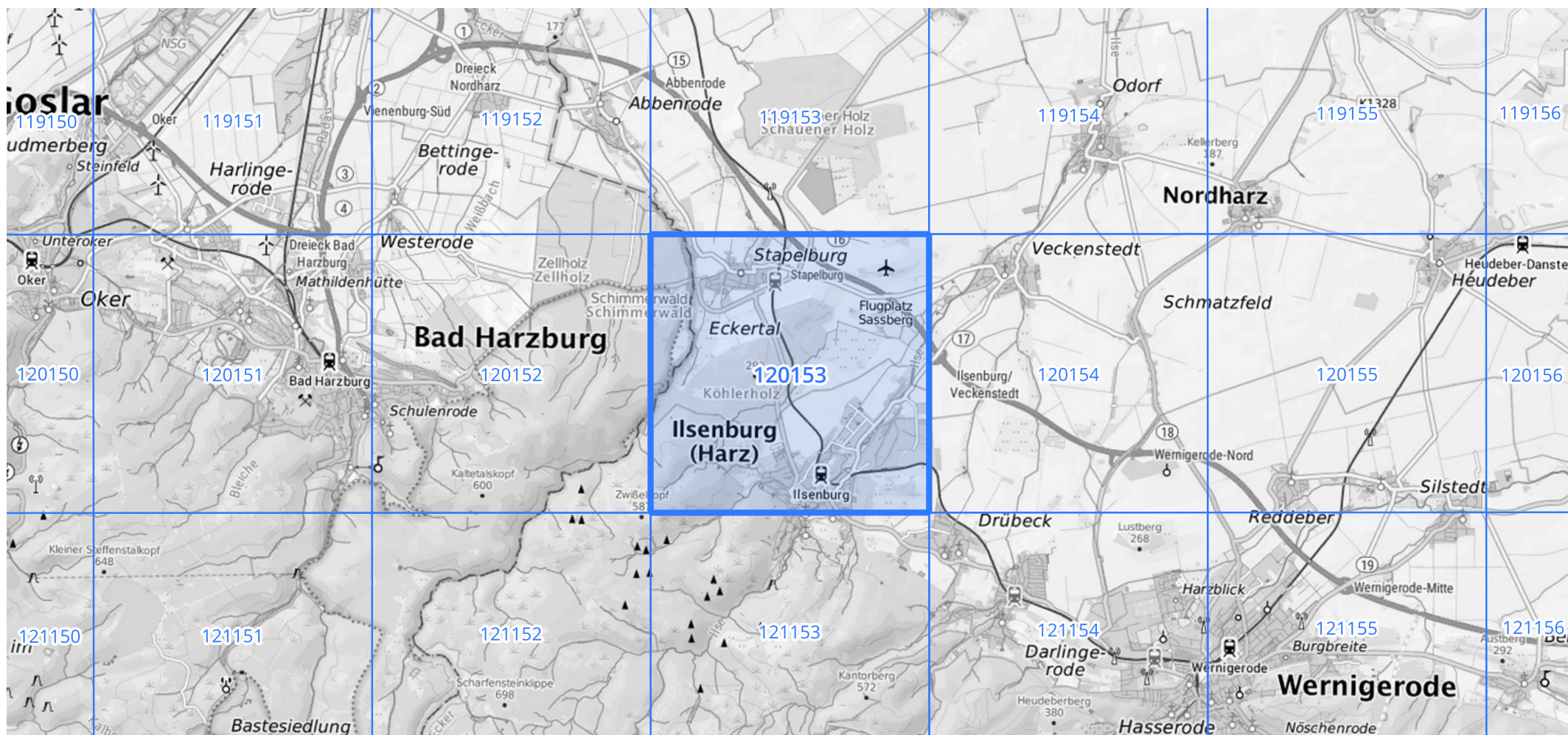
Siehe auch Anwendungshilfe zu KOSTRA-DWD-2020 des Deutschen Wetterdienstes.

## Starkniederschlagshöhen und -spenden gemäß KOSTRA-DWD-2020

## Rasterfeld 120153

(Zeile 120, Spalte 153)

Übersichtskarte des Rasterfeldes 120153, M 1 : 100 000



Quelle Rasterdaten: KOSTRA-DWD-2020 des Deutschen Wetterdienstes, Stand 12/2022.

Seite 3 von 3

Kartendarstellung: © Bundesamt für Kartographie und Geodäsie (2023), Datenquellen: [https://sgx.geodatenzentrum.de/web\\_public/gdz/datenquellen/Datenquellen\\_TopPlusOpen.html](https://sgx.geodatenzentrum.de/web_public/gdz/datenquellen/Datenquellen_TopPlusOpen.html)

Für die Richtigkeit und Aktualität der Angaben wird keine Gewähr übernommen. Erstellt 01/2023.